

Foto nº 200.- Ripple-marks asimétricos en las cuarcitas del Are
nigiense (O_{12}) de Mayorga.



Foto nº 201.- Pliegues de tendencia a la geometría similar, en las cuarcitas del Arenigiense (O_{12}) de Mayorga.



Foto nº 202.- Aspecto del esquistograuáquico (PC₂).



Foto nº 203.- Esquistograuváquico. La estratificación (N-130°E/
subvertical) queda marcada por la diferente compo-
sición (alternancia claro-oscuro) y se observa --
una esquistosidad de fractura (N-160°-E/subverti-
cal), indicada por la dirección del bolígrafo.

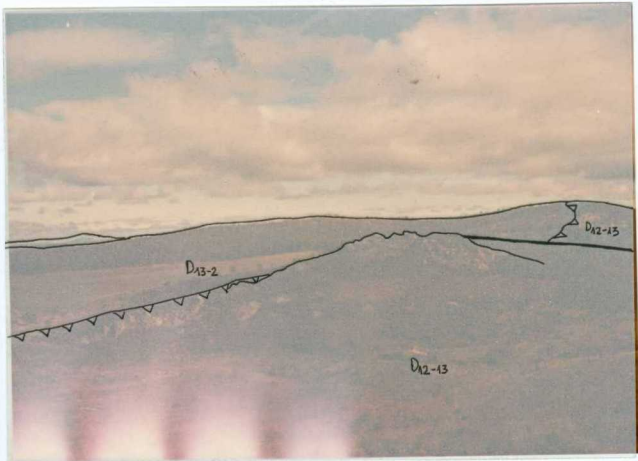


Foto nº 204.- Cuarcitas y Filitas del Siegeniense-Emsiense (D_{12-13}) en contacto con las filitas del Gévora (D_{13-2}). SO de la Hoja en las proximidades del Valle Seco.



Foto nº 205.- Paquete de cuarcitas del Siegeniense-Emsiense --
(D₁₂₋₁₃), buzando 65° al S.O.



Foto nº 206.- Anticlinal inclinado, perfectamente señalado por un paquete cuarcítico (25 cms.). Se observa claramente la esquistosidad de plano axial. Km. 2 - C^a a la Frontera Portuguesa.

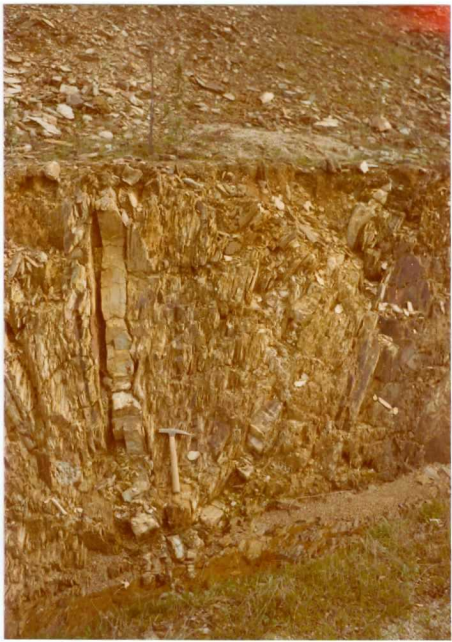


Foto nº 207.- Sinclinal, ligeramente inclinado. Los dos niveles de cuarcitas que señalan los flancos, se observan "boudinados". Se encuentra bien marcada la esquies-
tosidad de plano axial.



Foto nº 208.- Dique de rocas básicas (diabasas), con la típica disyunción en bolas. En el lado izquierdo de la fotografía se observa un paquete de liditas.

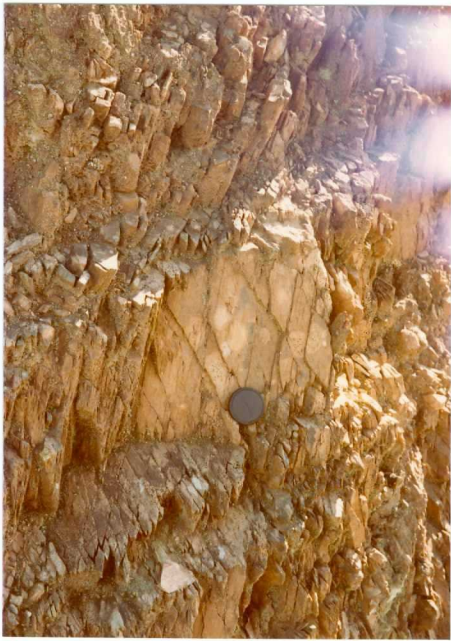


Foto nº 209.- Filitas del Gévora (D_{13-2}) en las que se observa reticulado romboidal y fuerte astillamiento, como consecuencia de la intersección de S_1 (N-110° E/subvertical) y S_2 (N-140°-E/70°N). Km. 1,200 - de la C^a a la Frontera Portuguesa.



Foto nº 210.- Conglomerado de cantes de caliza, que se encuentran orientados según la dirección de la esquistosidad.



Foto nº 211.- Calizas del Coblecieno superior-Eifeliense (D₁₃₋₂₁)
ligeramente plegadas. Margen derecha del Río Gévora



Foto nº 212.- Afloramiento de rocas básicas (diabasas), parcialmente cubierto, junto al río Gévora.



Foto nº 213.- Aspecto del granito, facies porfiroide ($\text{P}_{2-3}^{\text{b}} \mathcal{J}^2$) cerca de la Sierra de La Carava.

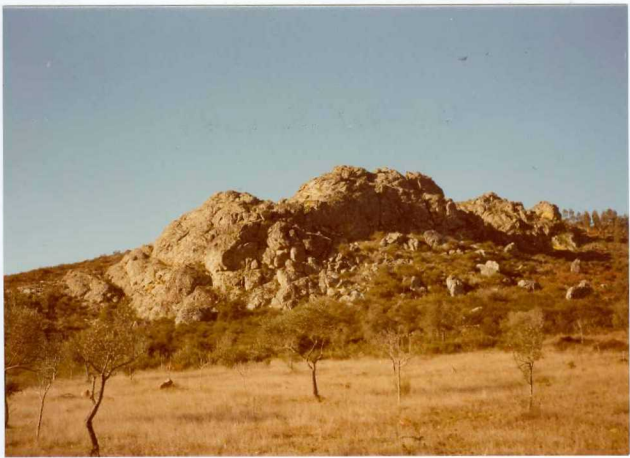


Foto nº 214.- Vista parcial de la rama N. de la Sierra de La Carava. Cuarcitas del Arenigiense (O₁₂).



Foto nº 215.- Cuarcitas del Arenigiense (O_{12}) de la Sierra de La Carava.



Foto nº 216.- Conglomerado de cantos de cuarcita, hacia el muro de las cuarcitas arenigieenses (O_{12}) de Mayorga.



Foto nº 217.- Nivel ferruginoso intercalado hacia la base del -
Arenigiense (O_{12}) de Mayorga.

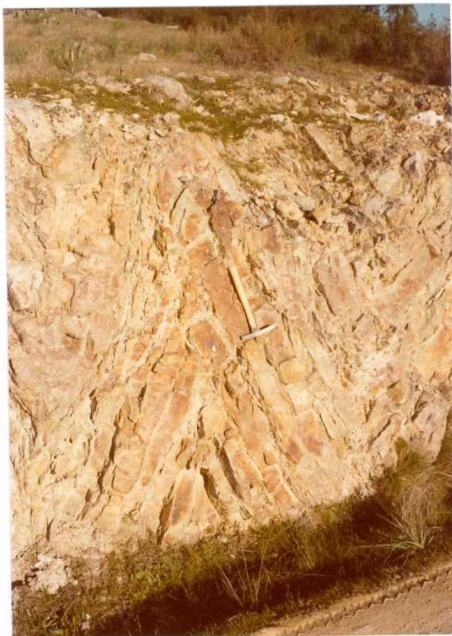


Foto nº 218.- Pliegues con tendencia a la geometría similar, si
métricos, pertenecientes a las clases 1C y 3 de -
RAMSAY, en las cuarcitas del Arenigiense (O_{12}) de
Mayorga.



Foto nº 219.- Pliegues con tendencia a la geometría similar, si
metricos y asimétricos, en las cuarcitas del Are-
nigiense (O_{12}) de Mayorga.



Foto nº 220.- Lineación de microplegamiento en el Ordovícico-Silúrico (O_2 - S^B) al S.O. del Cerro del Castaño.



Foto nº 221.- Aspecto de dos sistemas de diaclasado (N-130°-E/80° SW y N-160°-E/80°NE), que afectan al tramo carbonatado (D_{13-21}). Km. 6 C^a a Villar del Rey.



Foto nº 222.- Tramo carbonatado del Coblecieno superior-Eife-
liense (D_{13-21}), en el cual se observa un anti-
clinal y algún nivel de lpiditas ligeramente bou-
dinadas. Km. 6. C^a a Villar del Rey.



Foto nº 223.- Pliegues del tramo carbonatado, Coblecieno superior-Eifeliense (D_{13-21}). La esquistosidad de --- fractura S_1 es subparalela a la estratificación - S_0 . Km. 6 C^a a Villar del Rey.



Foto nº 224.- Cerro de rocas básicas, prácticamente cubiertas, al NW del Morrón de Trigo.



Foto nº 225.- Aspecto del valle por donde vá el trazado de la falla de Plasencia. A la izquierda de la misma -- aparecen unos cerros recortados. Foto tomada desde el Km. 4,300 de la C^a a Villar del Rey.



Foto nº 226.- Conglomerado de cantes de cuarcita y de filitas - con metamorfismo de contacto. No es cartografiable. Km. 3,300 C^a a Villar del Rey.



Foto nº 227.- Contacto granito (facies porfiroide $p\gamma 2$) y Arenigense (O_{12}^{2-3}), junto al castillo de Albúquerque.



Foto nº 228.- Cuarcitas del Arenigiense (O_{12}) en el castillo de Alburquerque.

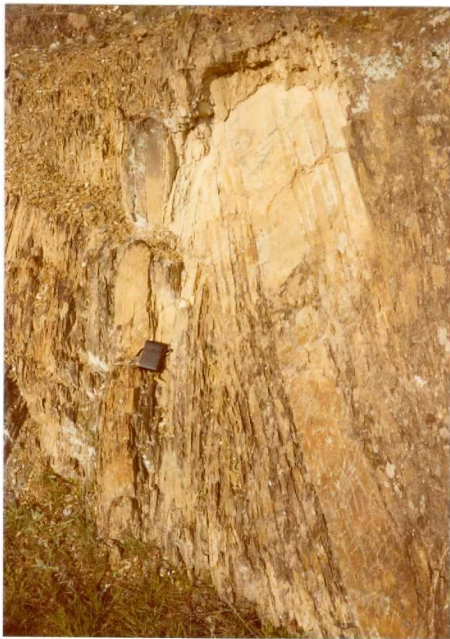


Foto nº 229.- Pliegue de tendencia isoclinal en el Precámbrico (PC₂). Presenta esquistosidad de plano axial (S₁) que se hace subparalela a la estratificación (S₀) en los flancos, fuera de la charnela. Km. 9,800 - de la C^a de San Vicente a La Codosera.



Foto nº 230.- Aspecto del esquistograuváquico (PC_2) en el Km. 9 de la C^a de San Vicente a La Codosera.



Foto nº 231.- Arenitas varioladas del tramo basal Ordovícico - (O_1), en el Km. 11,800 de la C^a de San Vicente a La Codosera.



Foto nº 232.- Filitas del Ordovícico-Silúrico (O_2 -S^B), bastante alteradas. Se observan algunos paquetes de cuarcitas. Km. 12,500 de la C^a de San Vicente a La Codo sera.



Foto nº 233.- Filitas del Ordovícico-Silúrico (O_2 -S^B) en el Km.
13,800 de la C^a de San Vicente a La Codosera.



Foto nº 234.- Cuarcitas Silúrico-Devónicas (S^B - D_{11}), en el Km. 14,700 de la C^a de San Vicente a La Codosera.



Foto nº 235.- Flanco sur del anticinal parcialmente erosionado, en el Silúrico-Devónico (S^B - D_{11}). A la altura del Km. 15,100 de la C^a de San Vicente a la Codosera.



Foto nº 236.- Micropliegues en el Precámbrico (PC₂). Km. 10,100
de la C^a de San Vicente a La Codosera.



Foto nº 237.- Aspecto del astillamiento que presentan las filitas del Gévora (D_{13-2}), como consecuencia de la intersección de dos esquistosidades de fractura (S_1 y S_2). Km. 16,200 de la C^a de San Vicente a La Codosera.



Foto nº 238.- Afloramiento de filitas del Gévora (D₁₃₋₂). Km. 16,300 de la C^a de San Vicente a La Codosera.



Foto nº 239.- Rocas básicas al S.E. de Galvanitos.

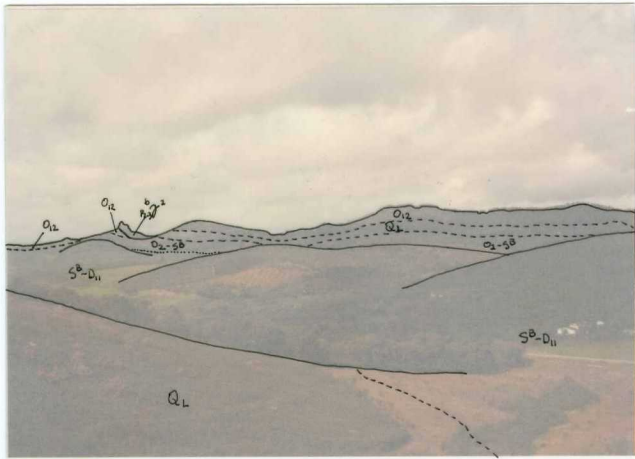


Foto nº 240.- Vista general desde Galvanitos que comprende el Silúrico-Devónico (S^B - D_{11}), Ordovícico-Silúrico (O_2 - S^B), el Arenigiente (O_{12}) y zonas prácticamente cubiertas por derrubios de ladera (Q_L). Al fondo se observa el castillo de Alburquerque asentado casi en el contacto del Arenigiente -- (O_{12}) con el granito de facies porfiroide ($p_{2}^{b} \mathcal{Z}_3$)



Foto nº 241.- Resalte de las cuarcitas Coblecienses (D_{12-13}) en el paraje denominado Riscos de San Isidro. Los derrubios de ladera (Q_L) cubren gran parte de las - cuarcitas.



Foto nº 242.- Vista general del granito desde el Km. 28,900 de la C^a de San Vicente a Alburquerque.



Foto nº 243.- Otro aspecto del granito. Km. 26,100 de la C^a de
San Vicente a Alburquerque.



Foto nº 244.- Aspecto de los Cerros del Siegeniense-Emsiense -- (D₁₂₋₁₃). En primer término valle de filitas del Gévora (D₁₃₋₂). Foto tomada al N. de Buenavista.



Foto nº 245.- Calizas del Câbleciense superior-Eifeliense (D₁₃₋₂₁) con grietas en escalón, rellenas de calcita. Cerca de la mina de "San Antonio".



Foto nº 246.- Cornubianitas (K_f) al N. del batolito, cerca de la Sierra de Sta. María.



Foto nº 247.- Filitas del Gévora (D_{13-2}). Al fondo Sierras de - cuarcitas Coblegienses (D_{12-13}).

Foto nº 248.- Charnelas de micropliegues en la estratificación (S_0) de las filitas del Gévora (D_{13-2}). Junto al Aº de Eloira Vaca.





Foto nº 249.- Microplegamiento de la estratificación (S_0) y es-
quistosidad de plano axial, subparalela a S_0 , en
las filitas del Gévora (D_{13-2}). Junto al Aº de --
Eloira Vaca.